

Aufbaukurs Bioinformatik

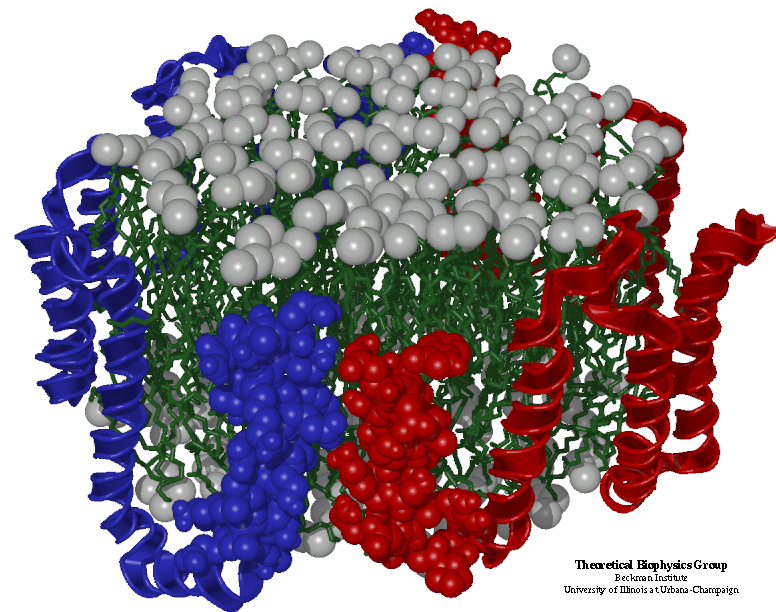
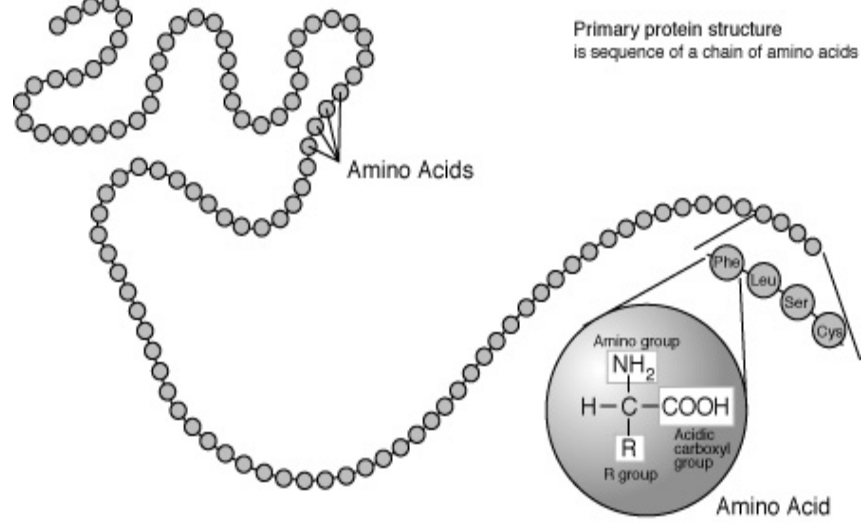


2. Tag: Proteindomänen, -struktur, Datenbanken
und Werkzeuge

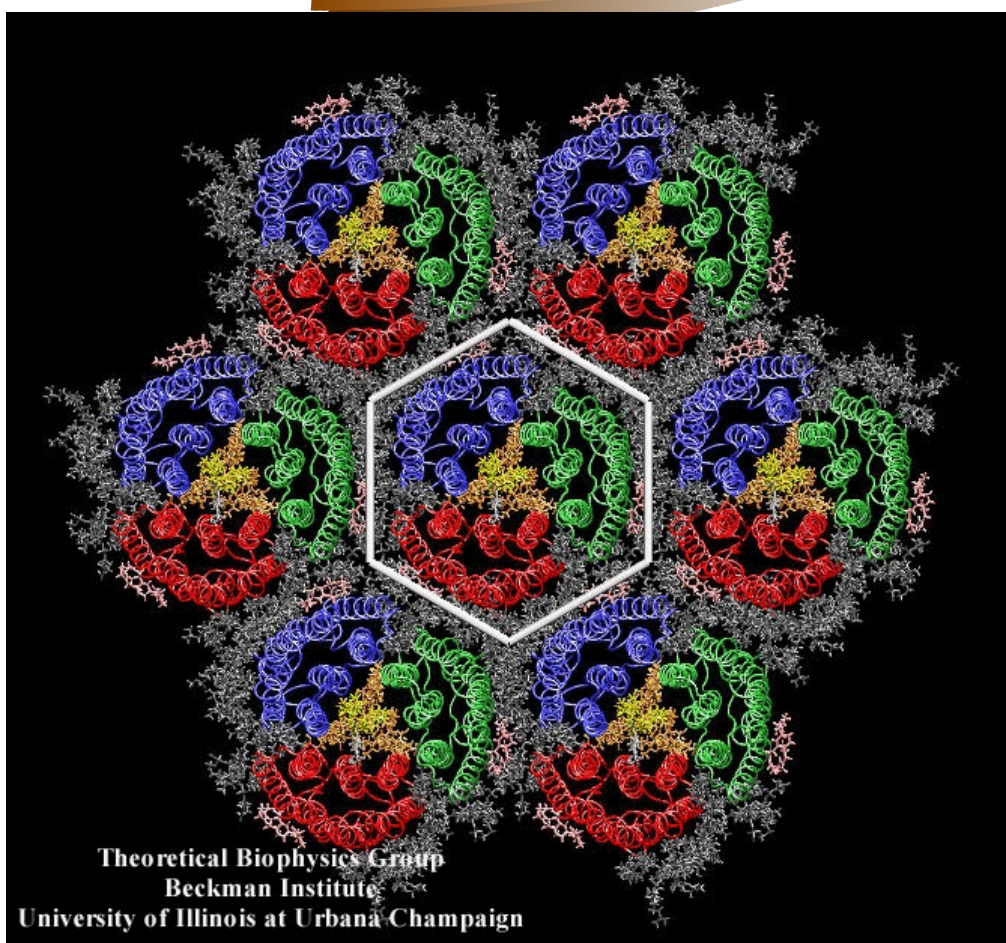
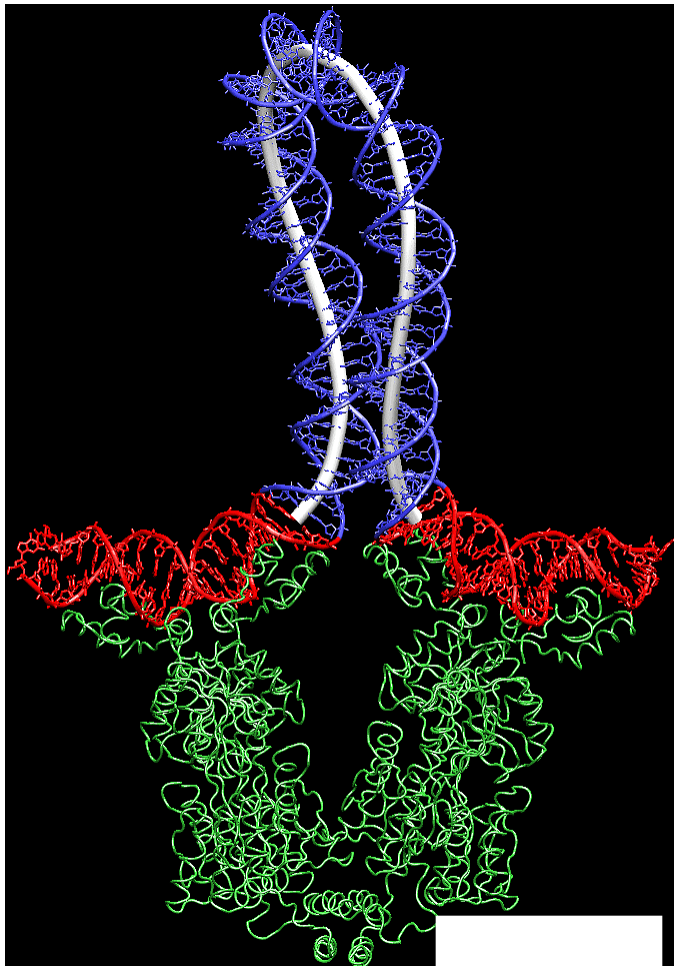
Ursula Kummer, Sven Sahle
mit Ulla Rost, Katja Wegner und Andreas Weidemann

Proteine

- Proteine sind Makromoleküle, die viele Abläufe in der Zelle bestimmen (Strukturbildung- und Erhaltung, Transport, Schutz und Abwehr, Steuerung und Regelung, Katalyse, Bewegung, Speicherung)
- Im menschlichen Körper werden etwa 100 000 verschiedene Proteine vermutet.



Proteine

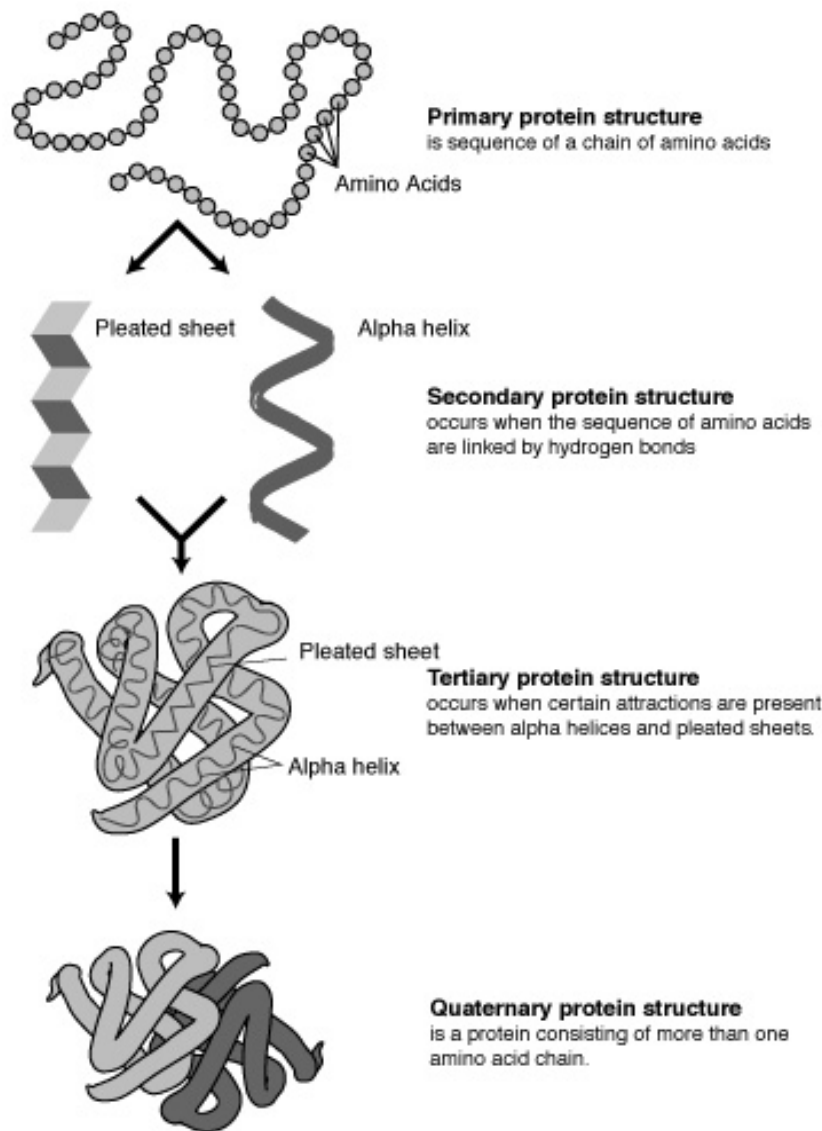


Proteinstrukturen

- **Primärstruktur:** Aminosäuresequenz
- **Sekundärstruktur:** α -Helix, β -Faltblatt u.a.
- **Tertiärstruktur:** Kombination von α -Helices und β -Faltblättern zu Domänen bzw. Untereinheiten
- **Quartärstruktur:** Kombinationen von verschiedenen Proteinsequenzen durch schwache nicht kovalente Bindungen zu größeren Proteinkomplexen

Proteinstrukturen

Primärstruktur

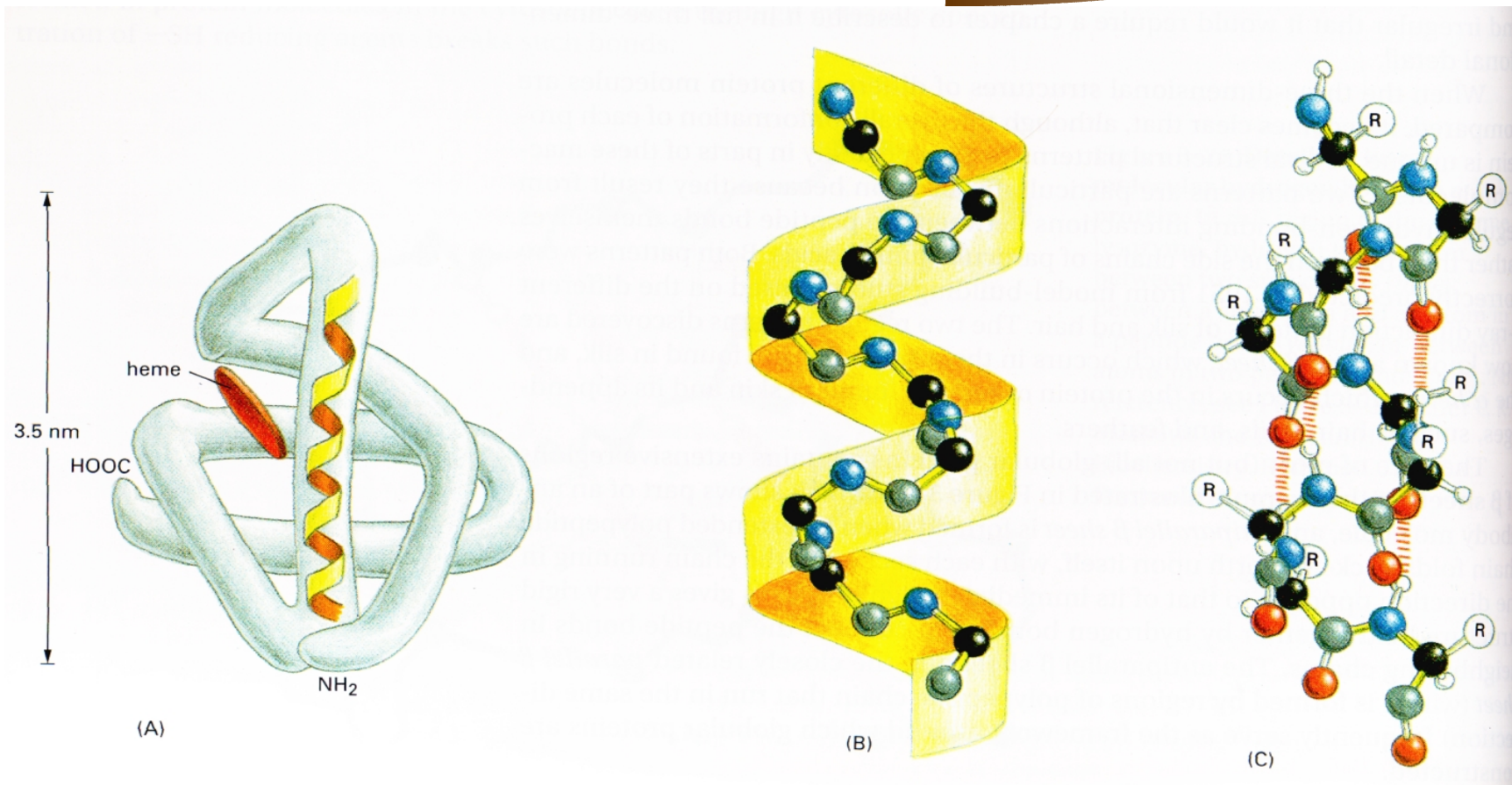


Sekundärstruktur

Tertiärstruktur

Quartärstruktur

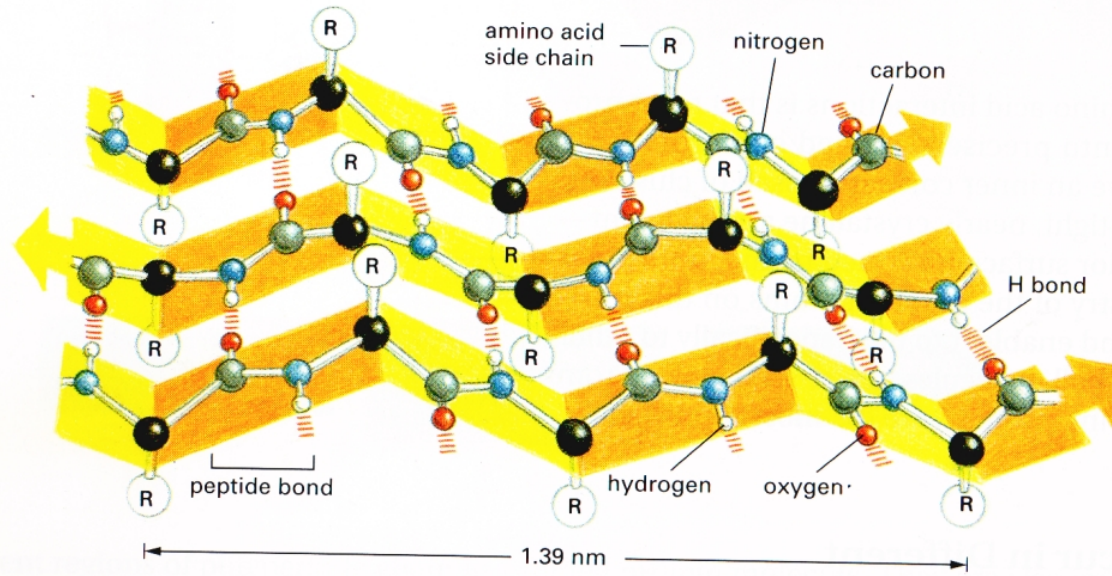
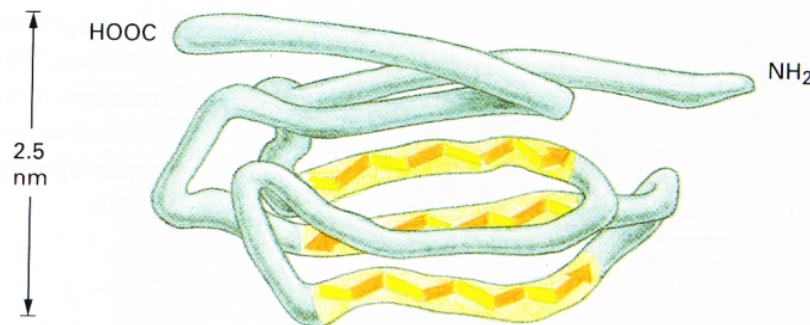
α-Helix



α -Helix

- 32-38% aller AS globulärer Proteine
- H-Brücken zwischen C=O und H-N zwischen den Aminosäuren i und i+4 ->regelmäßige, stabile Anordnung
- Pitch: 5.4 Å entlang der Achse, 3.6 AS pro Umdrehung
- Anstieg der Helix pro AS: 1.5 Å

β -Faltblatt

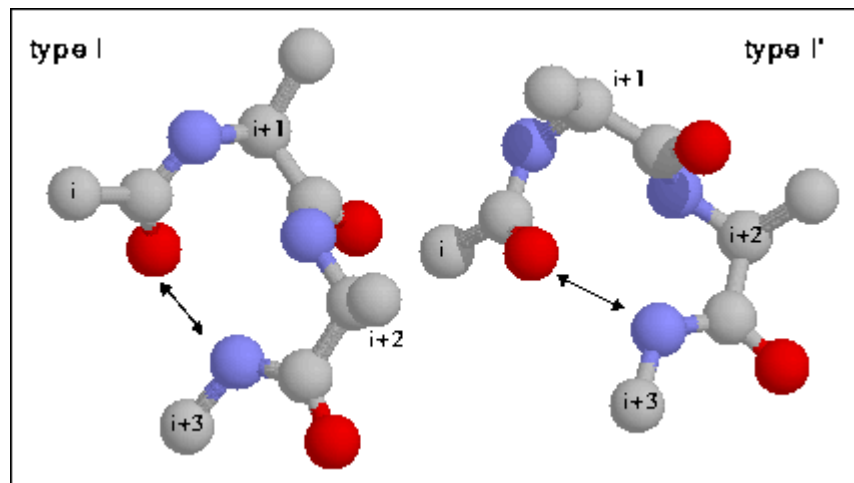
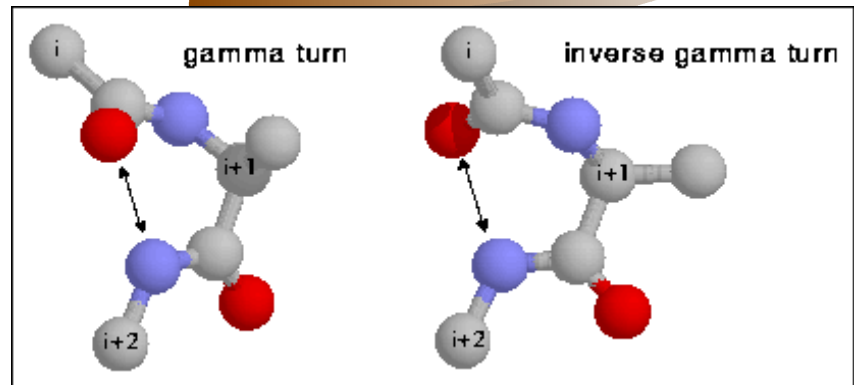


β -Faltblatt

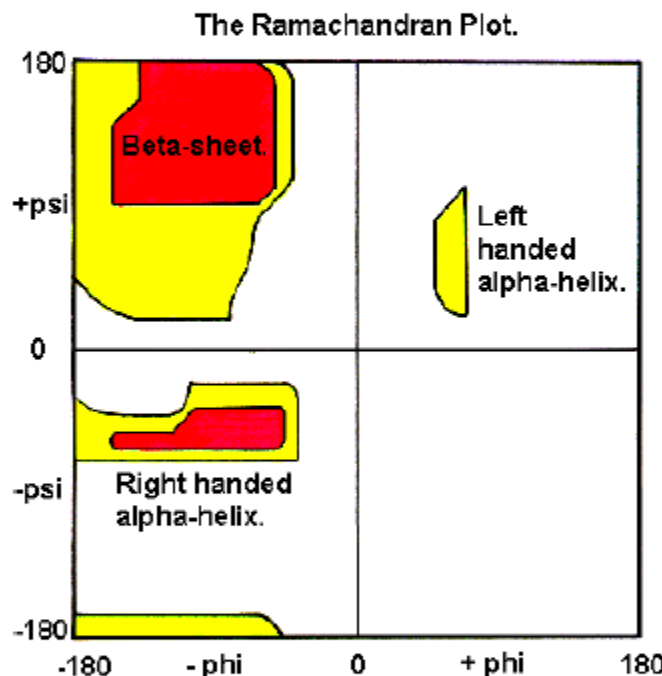
- Zickzack-artige Anordnung und wesentlich gestreckter als eine α -Helix (Pitch 6.8 Å)
- Peptidbindungen benachbarter Aminosäuren zeigen in entgegengesetzte Richtung, ebenso die Seitenketten (senkrecht zur Ausrichtung der CO-NH-Gruppen)
- Mehrere β -Stränge können sich durch Ausbildung von Wasserstoff-Brücken zu Faltblättern anordnen
- Länge des β -Strangs $\sim \#AS \times 3.4 \text{ \AA}$

Turns

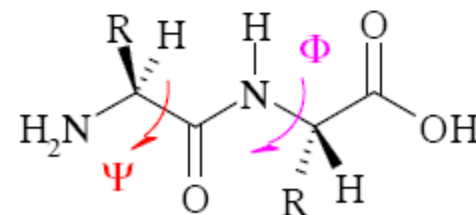
Um die Richtung einer Proteinkette umzukehren und um ein β -Faltblatt zu bilden, sind *turns* notwendig



Ramachandranplot



- | Blick vom N-Terminus
Drehung im Uhrzeigersinn \Rightarrow positive Winkel
- | Weisser Bereich: Atome näher als die Summe ihrer van der Waals-Radien
 \Rightarrow sterisch verboten (Ausnahme: Gly)
- | Rot: keine sterischen Hinderungen (C_β -CH₂)
 \Rightarrow ideale Sekundärstruktur
- | gelb: erlaubte Region bei leicht verkürzten van der Waals-Radien
 \Rightarrow zusätzliche linkshändige Helix



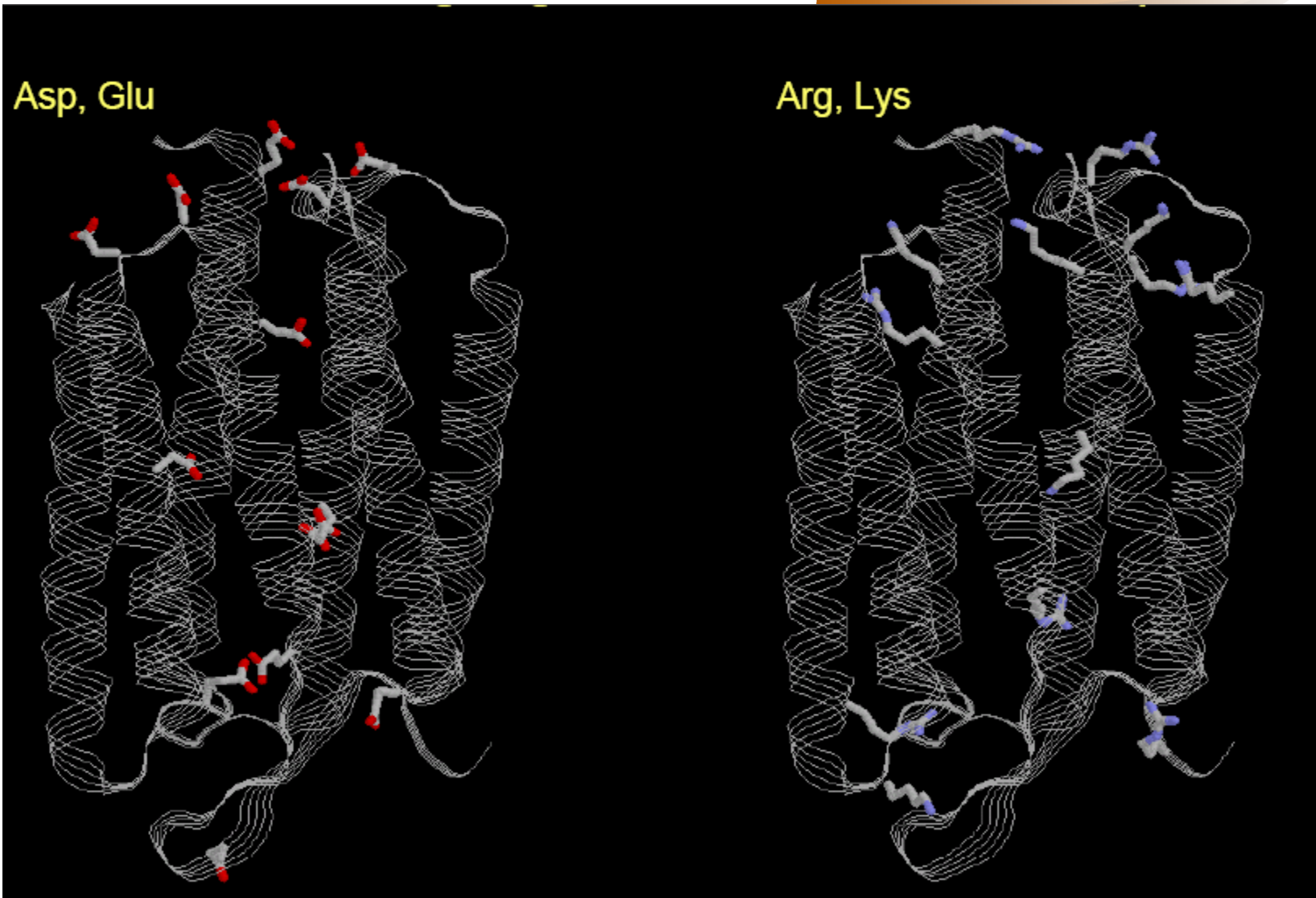
AS bestimmen die Struktur

Sekundärstruktur-Statistik

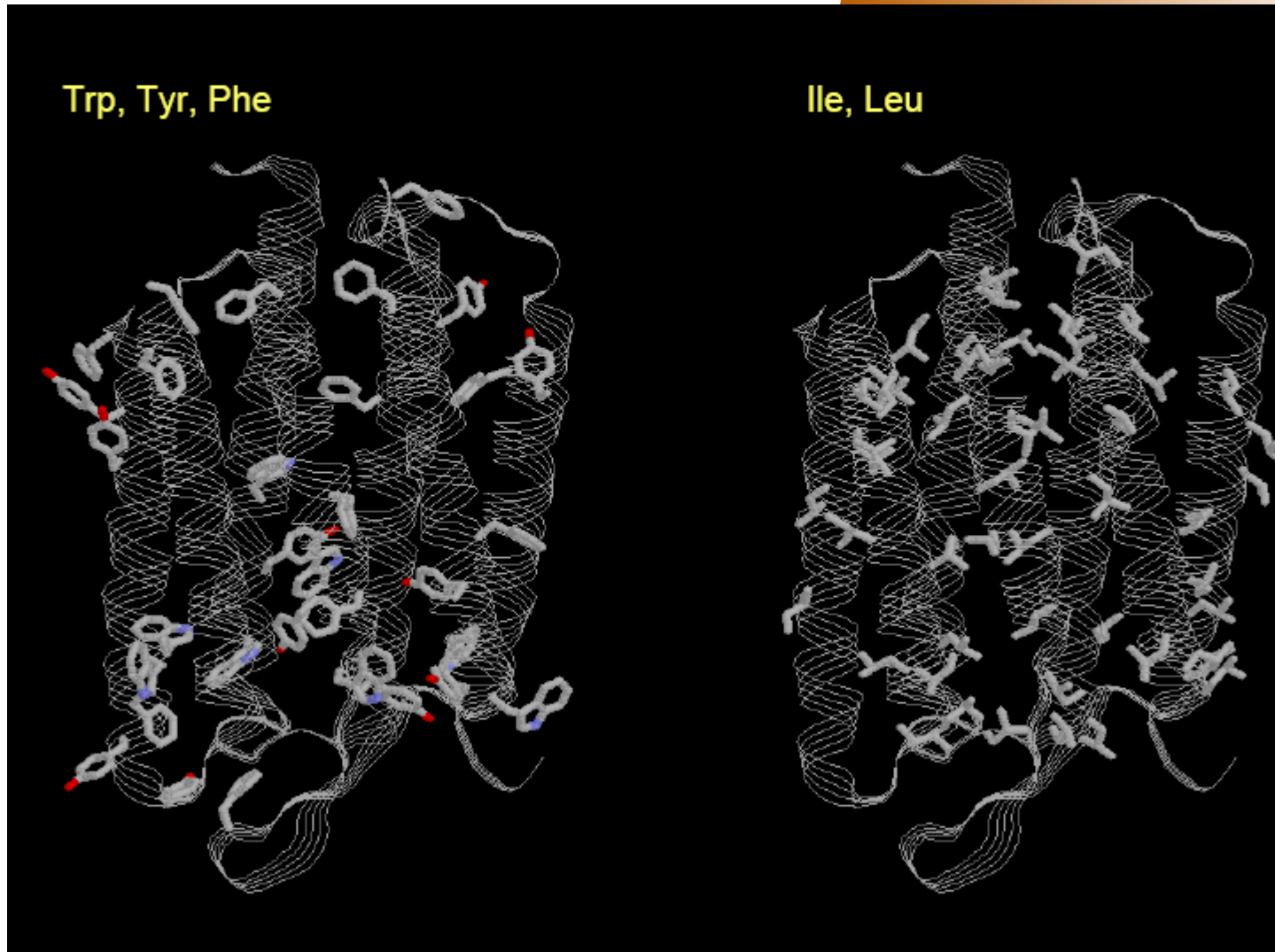
Table 9.1 α -helix and β -chain character of individual residues (Ptitsyn and Finkelstein 1983)

	α -helix	β -chain
former	leu, met, lys, glu, ala, arg, ile, phe, trp	val, ile, phe, tyr, trp, leu, cys, met, thr, his, lys
indifferent	tyr, gln, lys ⁺ , glu ⁻ , his, arg ⁺ , val, cys	glu, arg ⁺ , ala, gln, ser
breaker	his ⁺ , asn, asp, thr, ser, asp ⁻ , gly, pro	his ⁺ , lys ⁺ , arg ⁺ , glu ⁻ , asp, asn, asp ⁻ , glu, pro

Verteilung einiger AS in Bakteriorhodopsin



Verteilung einiger AS in Bakteriorhodopsin



- Funktionale Einheiten eines Proteins
 - Bedeutung für die Wechselwirkung mit anderen Molekülen in der Zelle haben
 - Sequenz-Domäne: zusammenhängender String innerhalb der Sequenz, der stark konserviert ist und somit ein charakteristisches Motiv darstellt. Es gibt eine (wenn auch nicht immer klar erkennbare) funktionale Bedeutung
 - Struktur-Domäne: strukturell unabhängiger Bereich im Protein

Datenbanken im Netz

- Datenbanken für Domänen (funktionale Einheiten in Proteinen)
 - Pfam <http://www.sanger.ac.uk/Software/Pfam/> semi-automatisch erzeugt
 - ProDom <http://protein.toulouse.inra.fr/prodom.html> automatisch erzeugt
 - Prosite <http://www.expasy.org/prosite>
auch Muster, z.B. proteinfamilientypische
 - InterPro: <http://www.ebi.ac.uk/interpro> Integration von Informationen über Proteine und deren funktionelle Einheiten (Pfam+ProDom+Prosite+PRINTS+SWISS-PROT + Trembl), halbautomatisch erzeugt

Transmembrandomänen

Algorithmus:

- > schaut nach dem wahrscheinlichen Auftreten von alpha-helices
- > wenn diese mehr als 18 AS enthält -> Transmembrandomäne
- > Achtung: Am Anfang eines Proteins: Signalsequenz
- > Falls keine Transmembrandomänen, kann die Lokalisation nicht vorhergesagt werden

Transmembrandomänen

<http://www.cbs.dtu.dk/services/TMHMM-2.0/>

CENTERFOR BIOLOGI CALSEQUENCE ANALYSIS CBS	EVENTS	NEWS	RESEARCH GROUPS	CBS PREDICTION SERVERS	CBS DATA SETS	PUBLICATIONS	BIOINFORMATICS EDUCATION PROGRAM
	STAFF	CONTACT	ABOUT CBS	INTERNAL	CBS BIOINFORMATICS TOOLS	CBS COURSES	OTHER BIOINFORMATICS LINKS

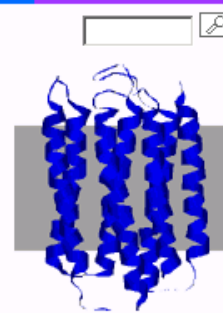
[CBS](#) >> [CBS Prediction Servers](#) >> TMHMM

TMHMM Server v. 2.0

Prediction of transmembrane helices in proteins

Please try the new server [Phobius](#)

NOTE: You can submit many proteins at once in one fasta file. Please limit each submission to at most 4000 proteins. Please tick the 'One line per protein' option. Please leave time between each large submission.



[Instructions](#)

SUBMISSION

Submission of a local file in [FASTA](#) format (HTML 3.0 or higher)

 [Browse...](#)

OR by pasting sequence(s) in [FASTA](#) format:

Output format:

- Extensive, with graphics
- Extensive, no graphics
- One line per protein

3D-Struktur

Kenntnisse der 3D-Struktur ermöglichen Aussagen über

- Funktionen
- Wichtigkeit einzelner Aminosäuren
- Liganden (auch Drugs)
- Kinetische Eigenschaften
- andere Interaktionspartner
- Lokalisation

Proteinfaltung

- Berechnung der Proteinstruktur aus der Sequenz
- Unter Verwendung von Kraftfeldmethoden (Newton'sche Mechanik und Elektrostatik) und Quantenmechanik berechnet man die Struktur mit minimaler Energie
- Extrem aufwändig!
- Heute eher durch vergleichende Analyse
- CASP-Wettbewerb



MD-Simulationen

- Normalerweise benutzt man MD um Änderungen der Struktur zu
- Zuordnung einer Anfangsgeschwindigkeit zu jedem Atom und Anwendung von Newtons
- Das 2. Newtonsche Gesetz: $F_i = m_i * a_i$ mit F als Summe aller Kräfte, die auf das i-te Atom wirken. Die Beschleunigung ist die zweite Ableitung der Position nach der Zeit.

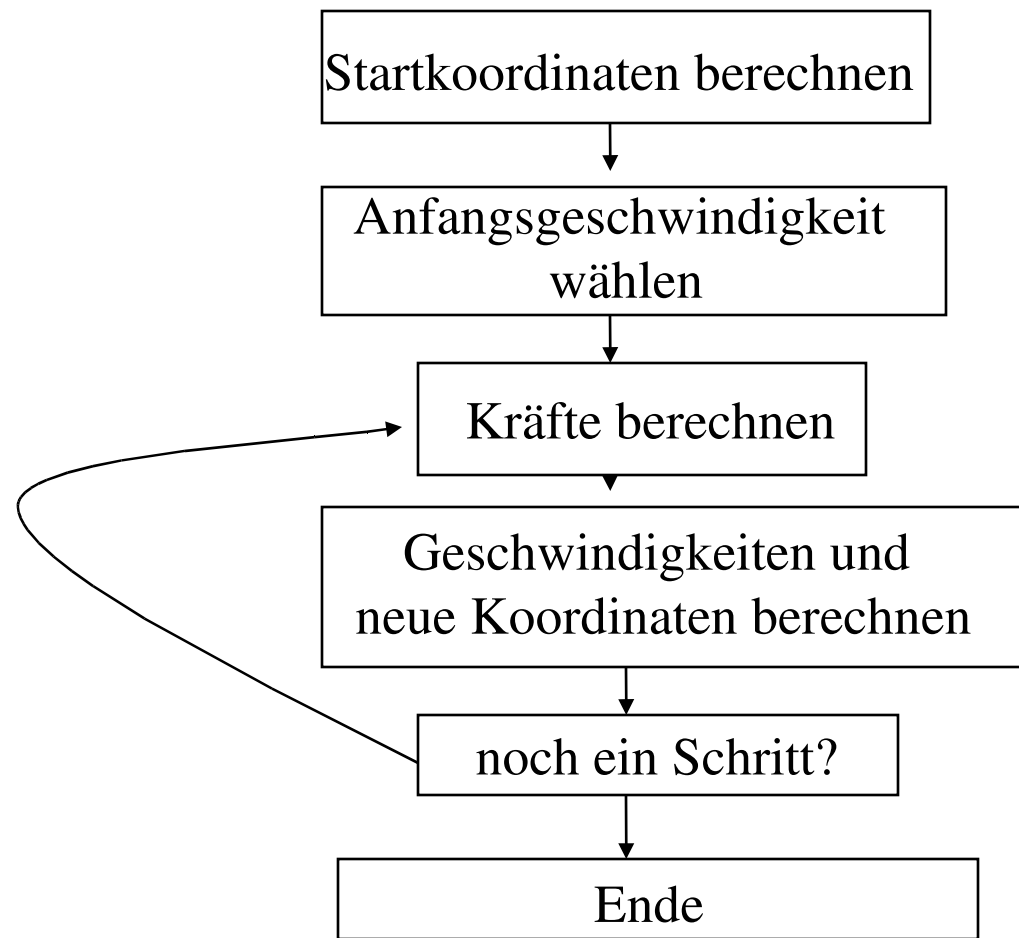
Der 'Leap Frog' - Algorithmus wird oft für die Integration benutzt:

$$\vec{v}_i(t_{n+1/2}) = \vec{v}_i(t_{n-1/2}) + \frac{\vec{F}_i(t_n)}{m_i} \Delta t,$$

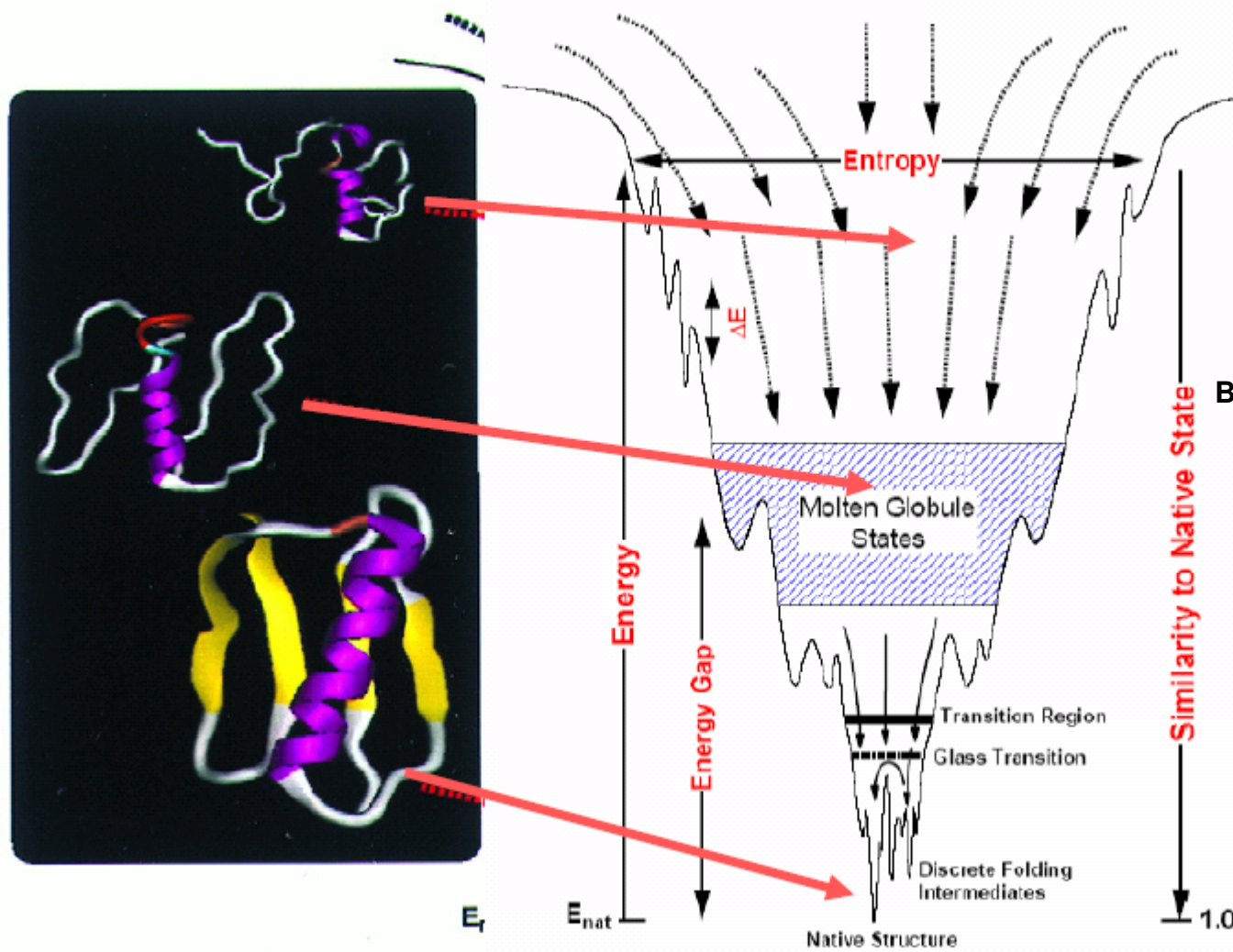
$$\vec{r}_i(t_{n+1}) = \vec{r}_i(t_n) + \vec{v}_i(t_{n+1/2}) \Delta t.$$

Moleküldynamik

- Berechnung von Molekülbewegungen, z.B. Docking



Proteinfaltungsvorhersage



Bryngelson, Wolynes, PNAS
(1987)

MD-Simulationen

Kann man einen Faltungsprozess mit MD-Simulationen simulieren?

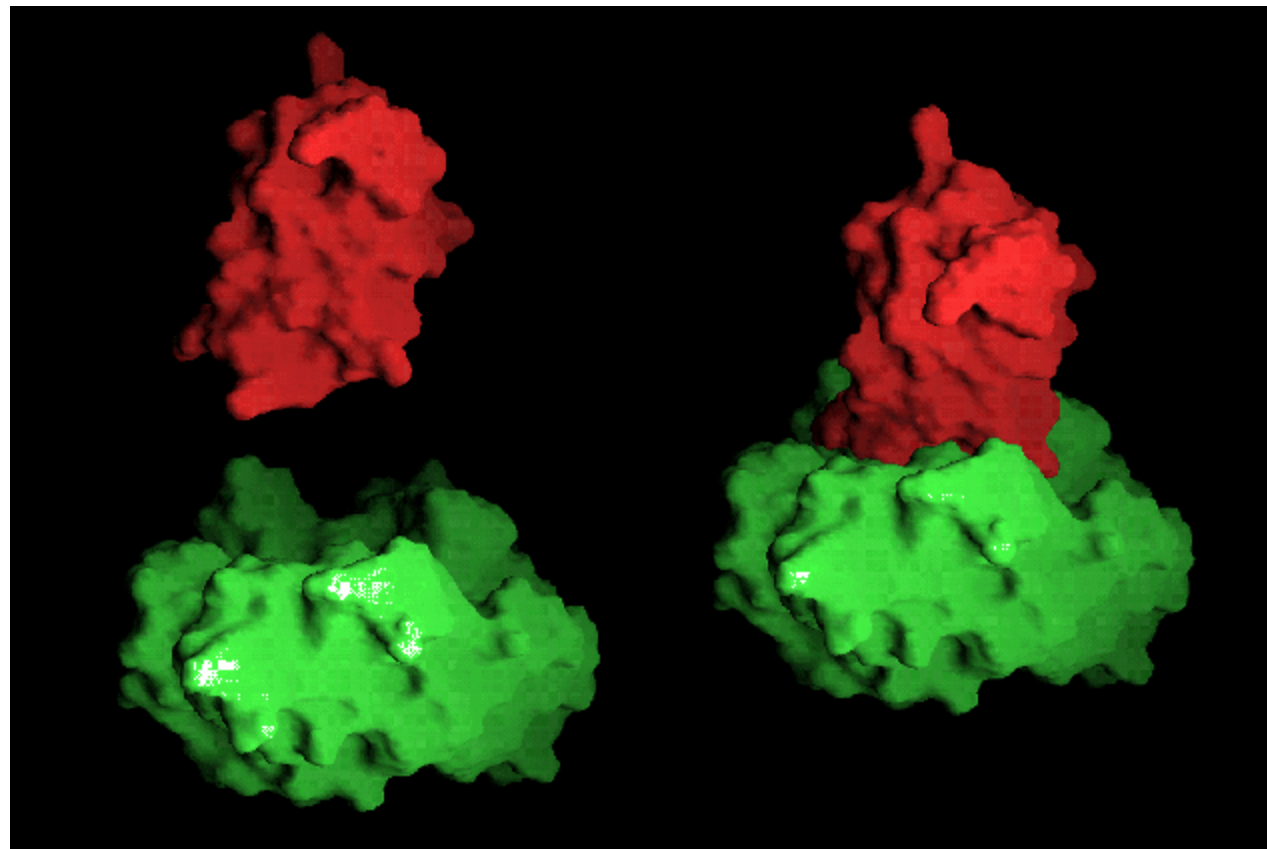
1998 -> Simulation der 36-Residuen des Villin-Fragments

exp. Faltungszeit: zwischen 10 – 100 s, $T_m = 70^\circ C$

- enthält 3 kurze Helices (NMR), die durch Loop und Schleife verbunden sind
- dicht gepackter hydrophober Kern

-> 4 Monate CPU Zeit auf 256 Prozessor Cray T3D und T3E

Docking



Homologie-Modeling

- Bei bekannter Struktur eines/mehrerer verwandter Proteine
- Anpassung der Struktur an die veränderten Aminosäuren
- Funktioniert ziemlich gut und ist viel schneller als herkömmliche Methoden
- Ganze Datenbanken wurden damit generiert

<http://swissmodel.expasy.org/repository>

SWISS-MODEL REPOSITORY

[Home](#) | [Advanced Search](#) | >>[Swiss-Model](#) | [HELP](#)

UniProt AC or ID:

Welcome to the SWISS MODEL Repository

The SWISS-MODEL Repository is a database of annotated three-dimensional comparative protein structure models generated by the fully automated homology-modelling pipeline SWISS-MODEL. The repository is developed at the Biozentrum Basel within the Swiss Institute of Bioinformatics.

REPOSITORY STATUS

Models:	1341793
UniProt:	10.4
PDB:	7.5.2007
Last update:	30.5.2007



[NOTE:](#) The SWISS-MODEL repository contains theoretically calculated models, which may contain significant errors.

Swiss-Model

```
250      260      270      280      290      300
ACYFETASAV TKDPAVAARG SALTPISMES GNFDSKYRFV LPTTKFDLDI DDASLNKGQQ

310      320      330      340      350      360
ALEKMISGMY LGEIARRVIV HLSSINCLPA ALQTALGNRG SFESRFAGMI SADRMPGLQF

370      380      390      400      410      420
TRSTIQKVCG VDVQSIEDLR IIRDVCRLVR GRAAQLSASF CCAPLVKTQT QGRATIAIDG

430      440      450      460      470
SVFEKIPSFR RVLQDNINRI LGPECDVRAV LAKGGSGVGA ALISAIVADG K
```

Q38C41 in FASTA format

[View entry in original UniProtKB/TrEMBL format](#)

[View entry in raw text format \(no links\)](#)

[Request for annotation of this UniProtKB/TrEMBL entry](#)

BLAST BLAST submission on ExPASy/SIB
or at NCBI (USA)



Sequence analysis tools: [ProtParam](#), [ProtScale](#), [Compute pI/Mw](#),
[PeptideMass](#), [PeptideCutter](#), [Dotlet](#) (Java)



[ScanProsite](#), [MotifScan](#)



[Submit a homology modeling request to SWISS-MODEL](#)

NPS@ NPSA Sequence analysis tools

[ExPASy Home page](#)

[Site Map](#)

[Search ExPASy](#)

[Contact us](#)

[Swiss-Prot](#)

Datenbanken im Netz

- Protein Data Bank (PDB)
<http://www.wwpdb.org/>
- Protein Structure Database (PSdb)
<http://www.psc.edu/~deerfiel/PSdb>
Java viewer
- Molecular Modeling Database (MMDB)
<http://www.ncbi.nlm.nih.gov/Structure/MMDB/mmdb.shtml>
- EBI Macromolecular Structure Database (MSD)
<http://www.ebi.ac.uk/msd/index.html>
viele Tools

PDB files

SCALING		0.000000	0.000000	0.000000	0.000000	0.000000	0.000000		
<u>ATOM</u>	1	N	LYS	658	23.864	20.736	75.930	1.00 46.26	N
ATOM	2	CA	LYS	658	22.609	20.563	75.140	1.00 45.18	C
ATOM	3	C	LYS	658	22.886	20.966	73.686	1.00 44.83	C
ATOM	4	O	LYS	658	23.720	21.835	73.418	1.00 45.53	O
ATOM	5	CB	LYS	658	21.479	21.423	75.733	1.00 45.82	C
ATOM	6	CG	LYS	658	20.081	21.038	75.278	1.00 46.76	C
ATOM	7	CD	LYS	658	19.708	19.661	75.801	1.00 49.57	C
ATOM	8	CE	LYS	658	18.512	19.070	75.072	1.00 50.09	C
ATOM	9	NZ	LYS	658	18.818	18.805	73.631	1.00 52.67	N
ATOM	10	N	SER	659	22.216	20.293	72.757	1.00 43.34	N
ATOM	11	CA	SER	659	22.372	20.550	71.331	1.00 41.62	C
ATOM	12	C	SER	659	21.759	21.903	70.925	1.00 39.27	C
ATOM	13	O	SER	659	22.464	22.779	70.422	1.00 37.49	O
ATOM	14	CB	SER	659	21.727	19.408	70.543	1.00 41.75	C
ATOM	15	OG	SER	659	20.345	19.319	70.850	1.00 43.69	O
ATOM	16	N	GLU	660	20.460	22.070	71.179	1.00 36.37	N
ATOM	17	CA	GLU	660	19.735	23.293	70.851	1.00 36.27	C
ATOM	18	C	GLU	660	20.379	24.556	71.424	1.00 34.20	C
ATOM	19	O	GLU	660	20.221	25.643	70.876	1.00 34.42	O
ATOM	20	CB	GLU	660	18.300	23.197	71.359	1.00 37.83	C
ATOM	21	CG	GLU	660	17.487	22.088	70.719	1.00 46.15	C
ATOM	22	CD	GLU	660	16.303	21.620	71.589	1.00 51.57	C
ATOM	23	OE1	GLU	660	16.115	22.157	72.706	1.00 54.44	O
ATOM	24	OE2	GLU	660	15.562	20.700	71.160	1.00 54.28	O
ATOM	25	N	ALA	661	21.123	24.403	72.515	1.00 32.01	N
ATOM	26	CA	ALA	661	21.764	25.529	73.186	1.00 28.22	C
ATOM	27	C	ALA	661	23.194	25.870	72.748	1.00 27.00	C
ATOM	28	O	ALA	661	23.590	27.030	72.774	1.00 27.86	O
ATOM	29	CB	ALA	661	21.722	25.306	74.695	1.00 27.66	C
ATOM	30	N	LEU	662	23.996	24.875	72.398	1.00 23.53	N
ATOM	31	CA	LEU	662	25.368	25.155	72.008	1.00 21.70	C
ATOM	32	C	LEU	662	25.532	25.257	70.494	1.00 20.79	C
ATOM	33	O	LEU	662	26.466	25.892	70.005	1.00 22.55	O
ATOM	34	CB	LEU	662	26.292	24.078	72.563	1.00 17.40	C
ATOM	35	CG	LEU	662	26.106	23.784	74.040	1.00 18.80	C
ATOM	36	CD1	LEU	662	26.848	22.528	74.386	1.00 21.15	C



Tools

- Online visualization <http://aismig.dkfz.de/service.php>
- Protein Structure Prediction Server
<http://bmerc-www.bu.edu/psa/index.html>
- Molecular Visualization Freeware
<http://www.umass.edu/microbio/rasmol>
- Swiss Pdb Viewer
<http://www.expasy.org/spdbv>
- PDBsum (einfache und schnelle Visualisierung von PDB-Einträgen)
<http://www.ebi.ac.uk/thornton-srv/databases/pdbsum/>